

---

---

## НАДЕЖНОСТЬ, ПРОЧНОСТЬ, ИЗНОСОСТОЙКОСТЬ МАШИН И КОНСТРУКЦИЙ

---

---

УДК 539.4

### ОЦЕНКА ВЕРОЯТНОСТИ УСТАЛОСТНОГО РАЗРУШЕНИЯ КОНСТРУКЦИОННЫХ ЭЛЕМЕНТОВ С УЧЕТОМ СТАТИСТИЧЕСКОГО РАЗБРОСА МЕХАНИЧЕСКИХ ХАРАКТЕРИСТИК ПРОЧНОСТИ МАТЕРИАЛА И ОСТАТОЧНОЙ ДЕФЕКТНОСТИ

© 2021 г. Ю. Г. Матвиенко<sup>1</sup>, Д. А. Кузьмин<sup>2</sup>, Д. О. Резников<sup>1,\*</sup>, В. В. Потапов<sup>2</sup>

<sup>1</sup> *Институт машиноведения им. А.А. Благонравова, РАН, Москва, Россия*

<sup>2</sup> *Всероссийский научно-исследовательский институт по эксплуатации атомных электростанций,  
Москва, Россия*

*\*e-mail: mibsts@mail.ru*

Поступила в редакцию 30.12.2020 г.

После доработки 30.03.2021 г.

Принята к публикации 26.04.2021 г.

В статье представлен метод оценки вероятности разрушения конструктивных элементов технических систем под действием однократных статических и циклических нагрузок, позволяющий учитывать разброс механических свойств материалов и размеров, остаточных макродефектов, невыявленных в ходе неразрушающего контроля. Представленный метод можно использовать при реализации вероятностного и риск-ориентированного подходов к обеспечению прочности, ресурса и безопасности технических систем в реальных условиях эксплуатации и корректировке типовых программ эксплуатации с точки зрения выбора периодичности и объема неразрушающего контроля

*Ключевые слова:* прочность, трещиностойкость, вероятность разрушения, неразрушающий контроль, дефектность

**DOI:** 10.31857/S0235711921040076

**1. Постановка задачи.** В задачах оценки и обеспечения конструкционной прочности и ресурса конструктивных элементов технических систем в реальных условиях эксплуатации неизбежно присутствует высокий уровень неопределенности, обусловленный вариативностью механических свойств и стохастической природой процессов их деградации, а также разбросом размеров трещин и других макродефектов. Дефекты могут возникнуть при изготовлении, монтаже или в процессе эксплуатации и не быть выявленными средствами неразрушающего контроля, которые не позволяют на современном уровне развития техники обеспечить 100% выявляемость дефектов. Вследствие чего на практике всегда приходится учитывать наличие остаточной дефектности, под которой понимается совокупность дефектов, которая остается в оборудовании после неразрушающего контроля и ремонта выявленных дефектов [1–4]. Отдельная группа неопределенностей связана с вариативностью режимов эксплуатационных нагрузений, а также возможностью реализации расчетных и нерасчетных экстремальных воздействий на рассматриваемые конструктивные элементы.

Конструкционная прочность и эксплуатационный ресурс рассматриваемых конструктивных элементов считаются обеспеченными, если для всей совокупности домини-

нирующих механизмов достижения предельных состояний  $i = 1, 2, \dots, k$  на протяжении всего срока эксплуатации элемента  $T_3$  выполняются условия [5–12]

$$\Sigma_i^C(t)/\Sigma_i^3(t) > 1, \quad i = 1, 2, \dots, k \quad \forall t \in [0; T_3], \quad (1)$$

где  $\Sigma_i^C(t)$  – предельные характеристики прочности, трещиностойкости, надежности, ресурса, живучести элемента (далее характеристики несущей способности),  $\Sigma_i^3(t)$  – соответствующие им факторы эксплуатационного нагружения (далее нагрузки).

Традиционно при решении задач прочности раскрытие указанных неопределенностей осуществлялось в рамках детерминистического подхода путем введения системы запасов прочности  $n_1, n_2, \dots, n_k$  по основным механизмам достижения предельных состояний, при которых неопределенные параметры  $\Sigma_i^C(t), \Sigma_i^3(t)$  ( $i = 1, 2, \dots, k$ ) в системе неравенств (1) заменяются на их детерминированные характеристики, например, математические ожидания  $E\{\Sigma_i^C(t)\}, E\{\Sigma_i^3(t)\}$ , а для компенсации возможных отклонений от указанных математических ожиданий (в том числе, минимизации влияния неучтенных нагрузок), вместо числа 1 в правые части неравенств (1) вводятся соответствующие величины запасов  $n_1 > 1, n_2 > 1, \dots, n_k > 1$

$$E\{\Sigma_i^C(t)\}/E\{\Sigma_i^3(t)\} > n_i; \quad i = 1, 2, \dots, k; \quad \forall t \in [0; T_3].$$

С развитием вероятностного и далее риск-ориентированного подходов, обусловленных необходимостью решения проблем по минимизации затрат жизненного цикла, встает задача оценки вероятности разрушения конструктивных элементов под действием рассматриваемых режимов нагружения ( $P_{F1}, P_{F2}, \dots, P_{Fk}$ ) [12] и сопоставления полученных оценок с некоторыми нормативными предельно-допустимыми значениями вероятности разрушения [ $P_F$ ], которая в зависимости от ответственности рассматриваемой конструкции выбирается в диапазоне  $10^{-5}$ – $10^{-8}$ , год $^{-1}$  [9, 13]. При этом конструкционная прочность и эксплуатационный ресурс рассматриваемого конструктивного элемента по основным механизмам достижения предельных состояний считаются обеспеченными, если выполняется система неравенств

$$P_{Fi}(t) = P\{\Sigma_i^C(t)/\Sigma_i^3(t) < 1\} < [P_{Fi}(t)], \quad i = 1, 2, \dots, k, \quad \forall t \in [0; T_3].$$

Решение поставленной задачи в вероятностной постановке предполагает описание неопределенностей с помощью вероятностных распределений неопределенных параметров и получение расчетных оценок вероятности разрушения аналитическим или численным способом. Отдельной задачей является обоснованный выбор значений нормативных, предельно-допустимых значений вероятности разрушения [ $P_{Fi}(t)$ ] по рассматриваемым механизмам достижения предельных состояний, который осуществляется с учетом критичности элемента и последствий, наступающих в случае его разрушения.

**2. Оценка вероятности разрушения элемента при однократном статическом нагружении.** Используя записанную в интегральной форме теорему о полной вероятности, уравнение для оценки вероятности разрушения компонента, находящегося в хрупком состоянии и содержащего трещиноподобный дефект, можно записать в виде [1, 2]

$$P_F = \int_{K_{Ic \min}}^{K_{Ic \max}} f_{K_{Ic}}(K_{Ic}) \int_{\sigma_{\min}}^{\sigma_{\max}} f_{\sigma}(\sigma) P(a \geq a_c) d\sigma dK_{Ic},$$

где  $P_F$  – вероятность разрушения;  $F_{K_{Ic}}(K_{Ic})$  – интегральная функция распределения вязкости разрушения  $K_{Ic}$ ;  $f_{\sigma}(\sigma)$  – функция плотности распределения напряжения  $\sigma$ ;  $a$  – вероятностная величина “характерный размер дефекта”, под которой, можно понимать, например, глубину трещины;  $F(a)$  – интегральная функция распределения

размера дефекта;  $P(a \geq a_C)$  – вероятность того, что размер дефекта превысит критическую величину  $a_C$ :  $F(a_C) = P(a < a_C) = 1 - P(a > a_C) \rightarrow P(a > a_C) = 1 - F(a_C)$ .

Коэффициент интенсивности напряжений в зоне поверхностной трещины определяют по уравнению  $K_I = f_k \sigma \sqrt{\pi a}$ , где  $f_k$  – корректирующая функция на геометрию и размер трещины, ее место расположения и схему нагружения.

Если ввести допущение о детерминированности приложенных напряжений ( $\sigma$ ), то вероятность разрушения будет определяться более простым выражением

$$P_F = \int_{K_{Ic \min}}^{K_{Ic \max}} f_{K_{Ic}}(K_{Ic}) P(a \geq a_C) dK_{Ic} = \int_{K_{Ic \min}}^{K_{Ic \max}} f_{K_{Ic}}(K_{Ic}) (1 - F(a_C)) dK_{Ic}. \quad (2)$$

Выражение (2) представляет собой запись теоремы о полной вероятности: вероятность разрушения представляет собой сложное событие  $a > a_C(K_{Ic}) | K_{Ic} \in dK_{Ic}$ , объединяющее два связанных события: 1) событие 1 – вязкость разрушения  $K_{Ic}$  оказывается в интервале  $dK_{Ic}$  ( $K_{Ic} \in dK_{Ic}$ ). Вероятность этого события равняется  $f_{K_{Ic}}(K_{Ic}) dK_{Ic}$ ; 2) событие 2 – размер дефекта  $a$  превышает критическую величину  $a_C$  ( $a > a_C$ ). Вероятность этого события, соответственно,  $P(a > a_C)$ .

Пределы интегрирования в выражении (2) можно выбрать из условия

$$K_{Ic \min} = E\{K_{Ic}\} - 3S\{K_{Ic}\} = E\{K_{Ic}\}(1 - 3v_{K_{Ic}}),$$

$$K_{Ic \max} = E\{K_{Ic}\} + 3S\{K_{Ic}\} = E\{K_{Ic}\}(1 + 3v_{K_{Ic}}),$$

где  $E\{K_{Ic}\}$  и  $S\{K_{Ic}\}$  – математическое ожидание и среднеквадратическое отклонение величины вязкости разрушения  $K_{Ic}$ ;  $v_{K_{Ic}} = S\{K_{Ic}\}/E\{K_{Ic}\}$  – коэффициент вариации величины  $K_{Ic}$ .

Пусть величина вязкости разрушения распределена по нормальному закону

$$f_{K_{Ic}}(K_{Ic}) = \frac{1}{\sqrt{2\pi}S\{K_{Ic}\}} e^{-\frac{(K_{Ic} - E\{K_{Ic}\})^2}{2 \cdot S_{K_{Ic}}^2}}.$$

Будем считать, что случайная величина “характерный размер дефекта” распределена согласно экспоненциальному закону [1] (рис. 1, кривая 1)

$$F(a) = 1 - e^{-\frac{a}{E\{a\}}}, \quad (3)$$

где  $E\{a\}$  – математическое ожидание случайной величины  $a$ .

Тогда второй множитель подынтегрального выражения в уравнении (2) можно записать в виде

$$P(a \geq a_C) = 1 - F(a_C) = e^{-\frac{a_C}{E\{a\}}}. \quad (4)$$

При этом уравнение (2) можно переписать как

$$P_F = \int_{K_{Ic \min}}^{K_{Ic \max}} \frac{1}{\sqrt{2\pi}S\{K_{Ic}\}} e^{-\frac{(K_{Ic} - E\{K_{Ic}\})^2}{2 \cdot S_{K_{Ic}}^2}} e^{-\frac{a_C}{E\{a\}}} dK_{Ic}.$$

Учитывая, что

$$a_C = \left( \frac{K_{Ic}}{f_k \sigma \sqrt{\pi}} \right)^2, \quad (5)$$

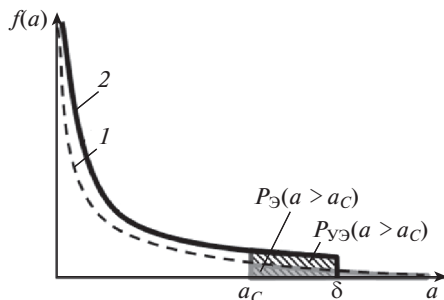


Рис. 1. Распределение величины “размер дефекта”  $a$ : 1 – экспоненциальное распределение (Э); 2 – усеченное экспоненциальное распределение (УЭ).

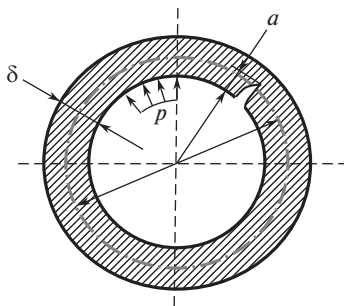


Рис. 2. Рассматриваемый конструктивный элемент.

получим выражение для вероятности разрушения конструктивного элемента с трещиной

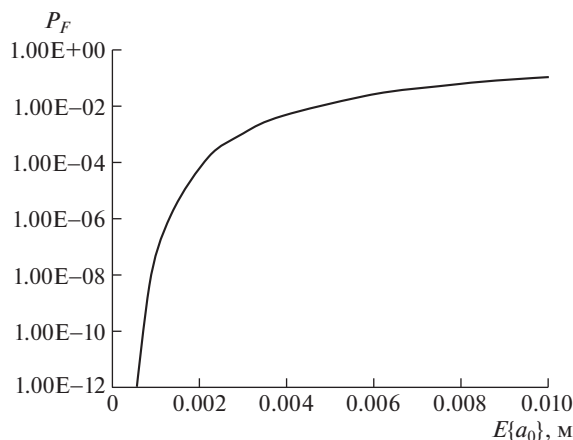
$$P_F = \int_{K_{Ic \min}}^{K_{Ic \max}} \frac{1}{\sqrt{2\pi S\{K_{Ic}\}}} e^{-\frac{(K_{Ic} - E\{K_{Ic}\})^2}{2S\{K_{Ic}\}^2}} e^{-\frac{1}{E(a)} \left(\frac{K_{Ic}}{f_k \sigma \sqrt{\pi}}\right)^2} dK_{Ic}. \quad (6)$$

Рассмотрим численный пример расчета вероятности разрушения элемента трубопровода, нагруженного внутренним давлением, содержащего осевую поверхностную трещину на внутренней стенке (рис. 2). Исходные данные задачи приведены в табл. 1.

В рассматриваемом примере для консервативной оценки допускается в качестве характерного размера трещины  $a$  принимать ее глубину, т.е. рассматривать протяжен-

Таблица 1. Численные значения параметров

Внутреннее давление в трубопроводе, $p_0$ (МПа)	8
Диаметр, $D$ (м)	1.26
Толщина стенки, $\delta$ (м)	0.025
Окружное напряжение, $\sigma$ (МПа)	201.6
Вязкость разрушения, $K_{Ic}$	
Математическое ожидание, $E\{K_{Ic}\}$ (МПа $\sqrt{м}$ )	61
Коэффициент вариации, $v_{K_{Ic}}$	0.1



**Рис. 3.** Зависимость вероятности хрупкого разрушения при однократном статическом нагружении от математического ожидания глубины трещины.

ный дефект длиной, превышающей на порядок ее глубину. Значение корректирующей функции  $f_k$  для протяженного дефекта в выражении для коэффициента интенсивности напряжения принимается равным 1.12 [15].

Будем считать, что после проведения неразрушающего контроля осуществляется идентификация и ремонт выявленных дефектов. При этом размер невыявленных дефектов, определяемый качеством (объемом и глубиной) проведения неразрушающего контроля, является вероятностной величиной, распределенной по экспоненциальному закону. В рассматриваемом примере ее математическое ожидание принимается равным  $E\{a\} = 2.00 \times 10^{-3}$ . Иными словами, при проведении расчета постулируется наличие дефекта типа трещины, глубина которой точно неизвестна и считается вероятностной величиной, распределенной по экспоненциальному закону с математическим ожиданием  $E\{a\} = 2.00 \times 10^{-3}$  м.

Согласно соотношению (6) для рассматриваемого примера вероятность разрушения элемента при однократном статическом нагружении составляет  $P_F = 6.51 \times 10^{-5}$ .

Зависимость вероятности разрушения от величины математического ожидания размера трещины  $E\{a\}$  представлена на рис. 3.

Если вместо экспоненциального по выражению (4) в качестве распределения глубины трещины  $a$  использовать усеченное экспоненциальное распределение вида

$$F(a) = \frac{1}{1 - e^{-\frac{1}{E\{a\}}\delta}} - \frac{e^{-\frac{1}{E\{a\}}a}}{1 - e^{-\frac{1}{E\{a\}}\delta}}, \quad (7)$$

с параметром  $\delta$  равным толщине стенки элемента, позволяющее учесть естественное ограничение для величины  $a$ , то с помощью аналогичных преобразований можно получить уточненную оценку вероятности разрушения рассматриваемого конструктивного элемента

$$P_F = \int_{K_{Ic \min}}^{K_{Ic \max}} \frac{1}{\sqrt{2\pi}S\{K_{Ic}\}} e^{-\frac{(K_{Ic} - E\{K_{Ic}\})^2}{2S_{K_{Ic}}^2}} \left( 1 - \frac{1}{1 - e^{-\frac{1}{E\{a\}}\delta}} + \frac{e^{-\frac{1}{E\{a\}}a_c}}{1 - e^{-\frac{1}{E\{a\}}\delta}} \right) dK_{Ic}.$$

Таким образом, в случае использования в рассмотренном численном примере усеченного экспоненциального распределения вероятность разрушения составит  $P_F = 6.14 \times 10^{-5}$ . При этом различие оценок вероятности разрушения при использовании экспоненциального и усеченного экспоненциального распределений составляет порядка 6%.

**3. Оценка вероятности усталостного разрушения с учетом разброса начальных размеров трещины  $a_0$  и вязкости разрушения  $K_{Ic}$ .** Рассмотрим задачу циклического нагружения конструктивного элемента с трещиноподобным дефектом. Используя (2), можно записать выражение для оценки вероятности разрушения после  $N$  циклов нагружения с учетом подрастания трещины от исходной глубины  $a_0$  до текущей глубины  $a_N$

$$P_{F_N} = P_F(\tau_N) = \int_{K_{Ic \min}}^{K_{Ic \max}} f_{K_{Ic}}(K_{Ic}) P(a_N > a_C) dK_{Ic}. \quad (8)$$

Будем считать, что кинетика трещины описывается модифицированным уравнением Пэриса

$$\frac{da}{dN} = C \left( \frac{\Delta K}{1-R} \right)^m, \quad (9)$$

где  $C$  и  $m$  – постоянные, зависящие от материала и условий нагружения;  $R$  – коэффициент асимметрии цикла нагружения;  $\Delta K$  – размах коэффициента интенсивности напряжений в цикле нагружения. Будем считать, что начальный размер трещины  $a_0$  является случайной величиной, распределенной по экспоненциальному закону (3).

При этом глубина трещины после  $N$  циклов нагружения будет являться функцией случайной величины “начальная глубина трещины”  $a_0$ , т.е. между случайными величинами  $a_N$  и  $a_0$  будет существовать детерминированная функциональная зависимость. Разделяя переменные и интегрируя левую и правую части выражения (9) можно получить

$$N = \frac{a_N^{\frac{1-m}{2}} - a_0^{\frac{1-m}{2}}}{C \left(1 - \frac{m}{2}\right) \left(\frac{f_k \sqrt{\pi}}{1-R} \Delta \sigma\right)^m}, \quad (10)$$

где  $a_N$  – глубина трещины после  $N$  циклов нагружения.

Из уравнения (10) можно записать выражение для глубины трещины после  $N$  циклов нагружения

$$a_N = \left( a_0^{\frac{1-m}{2}} + NC \left(1 - \frac{m}{2}\right) \left(\frac{f_k \sqrt{\pi}}{1-R} \Delta \sigma\right)^m \right)^{\frac{2}{2-m}}. \quad (11)$$

Условие разрушения после  $N$  циклов нагружения имеет вид

$$a_N > a_C.$$

Таким образом, в рассматриваемой постановке величина  $a_N$  по выражению (11) будет являться функцией только случайной величины  $a_0$ .

Введем понятие критической начальной глубины трещины  $a_{0C_N}$  (рис. 4), под которой будем понимать такую начальную глубину трещины, которая после  $N$  циклов нагружения при заданном уровне размаха номинальных напряжений в цикле нагруже-

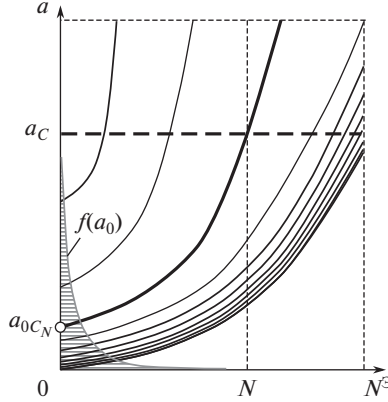


Рис. 4. Кинетика роста усталостных трещин с учетом разброса исходной дефектности.

ния  $\Delta\sigma$  достигнет критического размера  $a_C$ , определяемого с учетом соотношения (5) и возможности изменения параметров цикла нагружения в виде

$$a_C = \left( \frac{K_{Ic}}{f_k \sigma_{\max} \sqrt{\pi}} \right)^2 = \left( \frac{K_{Ic}(1-R)}{f_k \Delta\sigma \sqrt{\pi}} \right)^2.$$

В связи с тем, что в рассматриваемой постановке кинетика роста трещины является детерминированной и между величинами  $a_0$  и  $a_N$  существует детерминированная функциональная зависимость, условие разрушения в момент времени  $\tau_N$ , соответствующий  $N$  циклам нагружения, можно выразить через соотношение между начальной глубиной трещины  $a_0$  и величиной  $a_{0C_N}$

$$a_0 > a_{0C_N}. \quad (12)$$

Величину  $a_{0C_N}$  можно получить, выразив  $a_0$  из (10)

$$a_0 = \left( a_N^{(2-m)/2} - NC \left( 1 - \frac{m}{2} \right) \left( \frac{f_k}{1-R} \Delta\sigma \sqrt{\pi} \right)^m \right)^{2/(2-m)},$$

и подставив в него  $a_N = a_C$  получим

$$a_{0C_N} = \left( a_C^{(2-m)/2} - NC \left( 1 - \frac{m}{2} \right) \left( \frac{f_k}{1-R} \Delta\sigma \sqrt{\pi} \right)^m \right)^{2/(2-m)}. \quad (13)$$

Учитывая (12), выражение для вероятности усталостного разрушения после  $N$  циклов нагружения (8) можно переписать в виде

$$P_F(\tau_N) = \int_{K_{Ic \min}}^{K_{Ic \max}} f_{K_{Ic}}(K_{Ic}) P(a_0 > a_{0C_N}) dK_{Ic}. \quad (14)$$

Второй множитель подынтегрального выражения в уравнении (14) можно представить через функцию распределения  $F(a_0)$  случайной величины “начальная глубина трещины”

$$P(a_0 > a_{0C_N}) = 1 - P(a_0 < a_{0C_N}) = 1 - F(a_{0C_N}).$$

Или с учетом (3) для экспоненциального распределения начальной глубины трещины  $a_0$

$$P(a_0 > a_{0C_N}) = e^{-\frac{a_{0C_N}}{E\{a_0\}}}$$

Тогда с учетом выражений (5) и (13)

$$P(a_0 > a_{0C_N}) = e^{-\frac{\left(\left(\frac{K_{IC}(1-R)}{f_k \Delta \sigma \sqrt{\pi}}\right)^{2-m} - NC\left(1-\frac{m}{2}\right)\left(\frac{f_k}{1-R} \Delta \sigma \sqrt{\pi}\right)^m\right)^{2/(2-m)}}{E\{a_0\}}}$$

При этом выражение для оценки вероятности разрушения после  $N$  циклов нагружения можно записать в виде

$$P_F(\tau_N) = \int_{K_{IC\min}}^{K_{IC\max}} \frac{1}{\sqrt{2\pi S\{K_{IC}\}}} e^{-\frac{(K_{IC} - E\{K_{IC}\})^2}{2S\{K_{IC}\}^2}} e^{-\frac{\left(\left(\frac{K_{IC}(1-R)}{f_k \Delta \sigma \sqrt{\pi}}\right)^{2-m} - NC\left(1-\frac{m}{2}\right)\left(\frac{f_k}{1-R} \Delta \sigma \sqrt{\pi}\right)^m\right)^{2/(2-m)}}{E\{a_0\}}} dK_{IC}. \quad (15)$$

Следовательно, вероятность усталостного разрушения (15) зависит от: 1) числа циклов нагружения  $N$  в интервале времени между проведением оценки состояния элемента методами неразрушающего контроля ( $N = \nu\tau$ ,  $\nu$  – годовая частота циклов,  $\tau$  – интервал времени между проведением оценок состояния, год); 2) качества проведения неразрушающего контроля, которое определяет параметры распределения остаточной дефектности, которая не была выявлена в ходе неразрушающего контроля и, следовательно, была пропущена в эксплуатацию,  $E\{a_0\}$ ; 3) размаха действующих напряжений  $\Delta\sigma$ ; 4) параметров распределения величины вязкости разрушения  $K_{IC}$ . Первые два из перечисленных факторов позволяют сформировать программу эксплуатации рассматриваемого элемента с точки зрения периодичности и объема контроля, позволяющую обеспечить его конструкционную прочность, надежность, ресурс, безопасность при заданных режимах нагружения и свойствах конструкционного материала.

В качестве примера использования полученной расчетной зависимости обратимся к рассмотренному в п. 2 элементу трубопровода, который в данном случае будет подвергаться циклическому нагружению внутренним давлением со средним значением в цикле  $p_0 = 7.6$  МПа, размахом за цикл нагружения  $\Delta p = 0.8$  МПа, коэффициентом асимметрии цикла  $R = 0.9$  и частотой нагружения  $\nu = 500$  год<sup>-1</sup>. Константы уравнения Пэриса принимаются равными:  $C = 3.00 \times 10^{-11}$ ,  $m = 2.9$ .

При этом ставится задача определить интервалы времени  $\tau$  между моментами проведения двух последовательных технических инспекций методами неразрушающего контроля, при которых вероятность разрушения не превысит предельно допустимой величины вероятности разрушения, которая в рассматриваемом примере выбирается на уровне  $[P_F] = 5.0 \times 10^{-5}$  для трех расчетных случаев, когда значения математического ожидания пропущенного в эксплуатацию после неразрушающего контроля глубины трещины равны соответственно:  $E\{a_0\} = 1 \times 10^{-3}$  м,  $E\{a_0\} = 1.5 \times 10^{-3}$  м и  $E\{a_0\} = 2 \times 10^{-3}$  м.

На рис. 5 представлены зависимости вероятности разрушения от промежутка времени между техническими инспекциями ( $\tau$ ) для указанных трех случаев. Из рис. 5 следует, что при избранной величине  $[P_F]$  в случае 1 (когда  $E\{a_0\} = 1 \times 10^{-3}$  м) интервал времени между проведением инспекций можно выбрать равным  $[\tau_1] = 8$  лет и, соответственно, предельно допустимое число циклов нагружения  $[N_1] = \nu[\tau_1] = 4000$  циклов; для случая 2 (когда  $E\{a_0\} = 1.5 \times 10^{-3}$  м):  $[\tau_2] = 2$  года и  $[N_2] = 1000$  циклов; а в случае 3 (когда  $E\{a_0\} = 2 \times 10^{-3}$  м) эксплуатация рассматриваемого элемента запрещена,



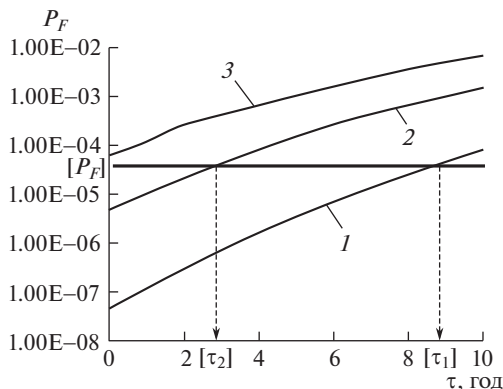


Рис. 5. Зависимости вероятности усталостного разрушения элемента для трех случаев:  $E\{a_0\} = 1 \times 10^{-3}$  м (кривая 1);  $E\{a_0\} = 1.5 \times 10^{-3}$  м (кривая 2) и  $E\{a_0\} = 2 \times 10^{-3}$  м (кривая 3).

поскольку уже в момент ввода элемента в эксплуатацию вероятность его разрушения превышает предельно допустимую величину.

Если вместо экспоненциального распределения (3) величины  $a_0$  аналогично тому, как это делалось в п. 2, использовать физически более корректное усеченное экспоненциальное распределение (7), то после аналогичных преобразований можно получить уточненное выражение для вероятности усталостного разрушения конструктивного элемента с трещиной

$$P_F(\tau_N) = \int_{K_{Ic \min}}^{K_{Ic \max}} \frac{1}{\sqrt{2\pi S\{K_{Ic}\}}} e^{-\frac{(K_{Ic} - E\{K_{Ic}\})^2}{2S\{K_{Ic}\}^2}} \times \left( 1 - \frac{1}{1 - e^{-\frac{1}{E\{a_0\}}\delta}} + \frac{e^{-\frac{\left(\left(\frac{K_{Ic}(1-R)}{f_k \Delta \sigma \sqrt{\pi}}\right)^{2-m} - NC\left(1-\frac{m}{2}\right)\left(\frac{f_k}{1-R}\Delta \sigma \sqrt{\pi}\right)^m\right)^{2/(2-m)}}}{E\{a_0\}}}{1 - e^{-\frac{1}{E\{a_0\}}\delta}} \right) dK_{Ic} \quad (16)$$

На рис. 6 представлены графики зависимости вероятности разрушения от величины математического ожидания глубины трещины, пропущенной в эксплуатацию после неразрушающего контроля  $E\{a_0\}$ , полученные для случаев экспоненциального и усеченного экспоненциального распределения величины  $a_0$ .

Так как оценки, полученные для случаев экспоненциального (15) и усеченного экспоненциального распределений (16), оказываются весьма близкими, в расчетах можно ориентироваться на более простую зависимость (15).

**4. Сопоставление расчетной вероятности разрушения с величиной предельно-допустимой вероятности разрушения.** Прочность и ресурс рассматриваемого элемента считаются обеспеченными, если расчетная величина вероятности разрушения  $P_F$  оказывается меньше предельно допустимой вероятности разрушения  $[P_F]$ :  $P_F < [P_F]$ .

Вопрос об обоснованном выборе величины предельно допустимой вероятности разрушения рассматриваемого элемента  $[P_F]$  решается с учетом критичности данного

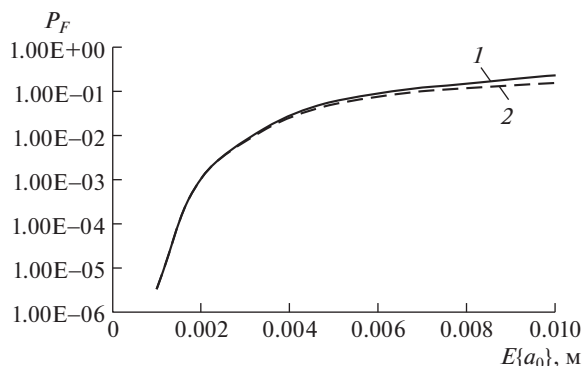


Рис. 6. Зависимости вероятности разрушения от уровня пропущенной в эксплуатацию дефектности: 1 – для экспоненциального распределения величины  $a_0$ ; 2 – для усеченного экспоненциального распределения  $a_0$ .

элемента для обеспечения прочности и безопасности конструкции в целом, а также уровня социальной значимости самой конструкции и величины ущербов, возникающих в случае ее разрушения.

Вероятность разрушения системы в целом ( $P_{SF}$ ) как вероятность сложного события определяется через произведение вероятности разрушения элемента ( $P_F$ ) и условной вероятности разрушения системы в случае разрушения данного элемента ( $P_{SF|F}$ ):

$$P_{SF} = P_F P_{SF|F}.$$

Аналогичное условие можно записать для предельно допустимых вероятностей

$$[P_{SF}] = [P_F] P_{SF|F}. \quad (17)$$

Предельная величина вероятности разрушения конструкции в целом  $[P_{SF}]$  устанавливается в зависимости от таких факторов как величина ущерба, который может наступить в случае разрушения системы, ее социальной значимости системы и срока эксплуатации [13, 14]. В частности, Международной научно-информационной ассоциацией строительной индустрии (CIRIA – Construction Industry Research and Information Association) для сложных инженерных сооружений (плотин, мостов, шельфовых платформ) принята формула для оценки величины предельно допустимой вероятности разрушения системы

$$[P_{SF}] = \frac{10^{-4} \xi_S t}{L k_{HF}},$$

где  $t$  – расчетный срок эксплуатации системы;  $L$  – среднее количество людей, которые могут погибнуть в случае разрушения системы;  $k_{HF}$  – коэффициент, учитывающий разрушения, связанные с человеческим фактором (обычно принимают  $k_{HF} = 10$ );  $\xi_S$  – коэффициент социальной значимости системы (табл. 2). Таким образом, величина  $[P_{SF}]$  обычно оказывается в диапазоне  $1 \times 10^{-5} - 1 \times 10^{-8}$ .

Условная вероятность разрушения системы в случае разрушения рассматриваемого элемента ( $P_{SF|F}$ ) определяется с помощью графологических методов сценарной оценки (типа методов дерева событий, дерева отказов, байесовых сетей и др.). После чего из выражения (17) определяется предельно допустимая вероятность разрушения рассматриваемого элемента  $[P_F]$ , которая затем сопоставляется с расчетной вероятностью разрушения. Далее принимается решение относительно обеспеченности прочности и ресурса рассматриваемого конструктивного элемента.

**Таблица 2.** Коэффициент социальной значимости для различных типов технических систем [14]

Тип системы	$\xi_S$
Объекты массового скопления людей (спортивные комплексы, торговые центры)	0.005
Плотины	0.005
Жилые здания, офисные центры, промышленные объекты	0.05
Мосты	0.5
Буровые вышки, шельфовые установки	5

**Заключение.** Разработан метод оценки вероятности разрушения конструктивных элементов технических систем с постулируемой дефектностью. Метод позволяет учитывать различные виды развития трещин, такие как усталостное, коррозионное растрескивание под напряжением или замедленное деформационное коррозионное растрескивание через константы, входящие в уравнение Пэриса. Метод учитывает время эксплуатации, что позволяет определять оптимальную периодичность неразрушающего контроля.

#### КОНФЛИКТ ИНТЕРЕСОВ

Авторы заявляют об отсутствии конфликта интересов.

#### СПИСОК ЛИТЕРАТУРЫ

1. *Гетман А.Ф., Козин Ю.Н.* Неразрушающий контроль и безопасность эксплуатации сосудов и трубопроводов давления. М.: Энергоатомиздат, 1997. 288 с.
2. *Гетман А.Ф.* Ресурс эксплуатации сосудов и трубопроводов АЭС. М.: Энергоатомиздат, 2000. 427 с.
3. *Кузьмин Д.А., Кузьмичевский А.Ю., Верташенок М.В.* Остаточная дефектность и вероятность существования дефектов с размером, превышающим допустимое значение // Строительная механика инженерных конструкций и сооружений. 2020. Т. 16. № 5. С. 414.
4. BS 7910:2013. Guide to Methods of Assessing the Acceptability of Flaws in Metallic Structures, 3rd ed. BSI: London, UK, December 2013.
5. *Ржаницын А.Р.* Расчет сооружений с учетом пластических свойств металлов. М.: Стройиздат, 1979. 289 с.
6. *Ching J.* Equivalence between reliability and factor of safety // Probabilistic Engineering Mechanics. 2009. V. 24 (2). P. 159.
7. *Ang A., Tang W.* Probability concepts in Engineering Planning and Design. V. 1. Basic Principles. John Wiley & Sons, Inc. US. 1975. V. 1. 407 p.
8. *Melchers R.* Structural Reliability Analysis and Prediction. 2nd Ed. John Wiley & Sons Ltd., England, 1999.
9. *Шатов М.М., Чернявский А.О.* Методика назначения предельной вероятности отказа // Проблемы машиностроения и надежности машин. 2013. № 1. С. 51.
10. *Mori Y., Ellingwood B.E.* Reliability-based service-life assessment of aging concrete structures // J. Struct. Eng. 1993. V. 119 (5). P. 1600.
11. *Aghakouchak A.A., Stiemer S.F.* Fatigue reliability assessment of tubular joints of existing offshore structures // Can. J. Civ. Eng. 2001. V. 28. P. 691.
12. *Kong J.S., Frangopol D.M.* Life-cycle performance prediction of steel/concrete composite bridges // International Journal of Steel Structures. 2002. V. 2 (1). P. 13.
13. *Резников Д.О.* Соотношение между детерминистическим и вероятностным подходами к оценке конструкционной прочности технических систем // Проблемы машиностроения и автоматизации. 2018. № 3. С. 61.
14. *Elishakoff I.* Safety Factors and Reliability: Friends or Foes Kluwer. Academic Publishers, Dordrecht, 2004. 295 p.
15. *Матвиенко Ю.Г.* Модели и критерии механики разрушения. М.: Физматлит, 2006. 328 с.